



Full Research Paper

Modelling and optimization of microwave-assisted extraction of rosemary using response surface methodology (RSM)

Bahman Saedpanah¹, Nasser Behroozi^{2*}, Jalal Khorshidi³

Received: 2020.12.15

Accepted: 2021.03.09

How to cite this article:

Saedpanah, B., Behroozi, N., Khorshidi, J. (2022). Modelling and optimization of microwave-assisted extraction of rosemary using response surface methodology (RSM). *Iranian Food Science and Technology Research Journal*. 18 (2), 235-247.

Abstract

Introduction: Microwave-assisted extraction (MAE) is one of the newest techniques for extracting essential oils from medicinal plants. Microwave waves penetrate into plant cells and affect the polar molecules, causing heat to build up inside the plant tissue, destroying the cells and releasing the active ingredients. Although in terms of essential oil extraction efficiency, MAE method is slightly higher than Clevenger, but in terms of energy consumption, process time and amount of solvent consumed has an inherent advantage over the Clevenger method. In this study, the aim is to evaluate the quantity and quality of rosemary essential oil in the developed microwave extraction system and process optimization in this system.

Materials and Methods: Rosemary plant (*Rosmarinus officinalis* L.) with 200 g used for each experiment. In this study, a microwave-assisted essential oil extraction system was developed. The system consisted of a home microwave, a distillation condenser, a cold-water source and a pump. In this study, the response surface methodology (RSM) used in the form of a central composite design with 13 treatments. The effect of two independent variables including power in the range of 300 to 900 watts and time in the range of 5 to 35 minutes on the efficiency of essential oil as dependent variables was investigated. To evaluate the quality of the extracted essential oil and compare it with Clevenger treatment, GC-Mass analysis was done using an Agilent technology apparatus (Agilent 7990B, USA).

Results and Discussion: A quadratic model was proposed for modelling of extraction efficiency and it was able to model with the values of R^2 , Adj R^2 and Pred R^2 , which were 0.9521, 0.9180 and 0.574, respectively. The "Pred R^2 " of 0.547 is not as close to the "Adj R^2 " of 0.9180 as one might normally expect. The difference is more than 0.2. This may indicate a large block effect or a possible problem with the proposed model and/or data. Things to be considered for model modification are model reduction and response transformation. Results of ANOVA showed that only the linear terms of time, power and quadratic power of time are significant. The normal probability plot showed the normal distribution of errors observed in the experimental design space. The actual measured values R^2 of the extracting efficiency from the experiments versus the values R^2 predicted by the model indicated that this model could estimate the extracting efficiency with a correlation coefficient of 0.746. Box-Cox plot demonstrated for obtaining better results, the data of the amount of essential oil efficiency should be transferred to the power of 0.68 by the power function and the new model should be fitted to the data. Therefore, based on the Box-Cox diagram and the transfer of response data to the power space, as well as the use of a step-by-step method to remove meaningless terms from the model, the proposed model is as shown in equation 6. The results of the new model shows that the Pred R^2 increased from 0.5574 to 0.8644, which indicates an

1 and 2. Former MSc student and Assistant professor, Department of Biosystems Engineering, University of Kurdistan, Iran.

3. Assistant professor, Department of Horticultural Science and Engineering, University of Kurdistan, Iran.

(*Corresponding Author Email: n.behroozi@uok.ac.ir)

DOI: [10.22067/IFSTRJ.2021.67786.1001](https://doi.org/10.22067/IFSTRJ.2021.67786.1001)

improvement in the performance of the new model. Alpha-pinene, camphene, borneol, camphor, cineole, and caryophyllene were the predominant compounds of the essential oil. In 300 and 600-watt treatments with a time of 35 minutes, the amount of dominant compounds of essential oil is slightly higher than Clevenger. However, in the power of 900 watts, due to the increase in temperature, some compounds have been destroyed and the extraction level of some compounds has decreased drastically, and in contrast, the level of caryophyllene was increased to 23.595 %, which indicates a sharp increase in its value at 900 watts. On the other hand, the components of alphapenine, camphor and cineole have the highest medicinal value, which according to Table 8, the highest values for these compounds have been extracted in 300 watt treatment. At the higher microwave power, due to the decomposition of the compounds, the amount of extraction of these compounds was significantly reduced. Also, at 300 watts, the extraction efficiency of these compounds was higher than that of Clevenger, which shows the ability of the MAE method in extracting essential oils from medicinal plants.

The results showed that the amount and quality of essential oil in the MAE with power of 300 and 600 watts was almost the same as Clevenger in most compounds. Essential oil compounds are degraded at 900 watts, so it is recommended not to use maximum power in the experiments. However, if the goal is to extract the highest amount of caryophyllene, verbenone and caryophyllene oxide in the extracted essential oil, higher power can be used.

Keywords: Essential oil, extraction Time, Response surface method, Microwave, Rosemary.

مقاله علمی - پژوهشی

مدل‌سازی و بهینه‌سازی استخراج اسانس رزماری به کمک مایکروویو با استفاده از روش سطح

پاسخ (RSM)

بهمن ساعدپناه^۱ - ناصر بهروزی خزاعی^{۲*} - جلال خورشیدی^۳

تاریخ دریافت: ۱۳۹۹/۰۹/۲۵

تاریخ پذیرش: ۱۳۹۹/۱۲/۱۹

چکیده

توسعه روش‌های نوین برای استخراج اسانس از گیاهان دارویی روزبه‌روز در حال گسترش است. هدف از این پژوهش، پیاده‌سازی و ارزیابی سامانه استخراج اسانس به کمک مایکروویو می‌باشد. ۱۳ آزمایش با سه سطح توان (۳۰۰، ۶۰۰ و ۹۰۰ وات) و سه سطح زمان (۵، ۲۰ و ۳۵ دقیقه) برای اندازه‌گیری بازده اسانس استخراجی در نظر گرفته شد. بازده اسانس استخراجی به کمک روش سطح پاسخ با طرح مرکب مرکزی (CCD) مدل‌سازی و بهینه‌سازی شد. همچنین نوع و میزان ترکیبات اسانس استخراجی در هر تیمار آزمایشی به کمک کروماتوگرافی گازی متصل به طیف‌سنج جرمی (GC-MS) و کروماتوگرافی گازی (GC) تعیین گردید. بازده و کیفیت اسانس استخراجی توسط کلونجر هم به‌عنوان تیمار شاهد در نظر گرفته شد. نتایج نشان داد که مدل درجه دو توانی قادر است بازده اسانس را با R^2_{Adj} ، R^2_{Pre} و R^2 به ترتیب با مقادیر ۰/۹۵۹۰، ۰/۹۴۵۹ و ۰/۸۸۶۴ پیش‌بینی کند. همچنین نتایج بهینه‌سازی نشان داد که توان ۸۶۶ وات و زمان ۳۴ دقیقه به‌عنوان شرایط بهینه کاری سامانه اسانس‌گیری به‌دست آمد که با این شرایط کاری بازده اسانس استخراجی به ۰/۳۷ درصد (حجمی / وزنی) رسید. همچنین تجزیه و تحلیل اسانس‌ها نشان داد در تیمارهای مختلف تعداد و درصد ترکیبات غالب به‌دست آمده متفاوت هستند. در تیمار ۹۰۰ وات، ترکیبات غالب اسانس کاریوفیلین و بورنئول بودند، در حالیکه در تیمارهای ۳۰۰ و ۶۰۰ وات و کلونجر ترکیبات غالب اسانس، آلفاپینن، کامفن و کامفور بودند.

واژه‌های کلیدی: اسانس‌گیری، زمان استخراج، روش سطح پاسخ، کلونجر، مایکروویو.

مقدمه

زمان طولانی و مصرف بالای حلال برای فرآیند استخراج دارند. همچنین کیفیت اسانس استخراجی به‌خصوص برای مواد حساس به دما کاهش می‌یابد (Omidbaigi, 2009; Bagade and Patil, 2019). لذا توسعه تکنیک‌های جدید و ترکیب فناوری‌ها برای استخراج مواد مؤثره در گیاهان دارویی، تبدیل یک از نیازهای ضروری در زمینه فرآوری گیاهان دارویی شده است. مزیت اصلی توسعه تکنیک‌ها و فناوری‌های ترکیبی استخراج، افزایش بازدهی تولید و کمک به حفاظت از محیط زیست با کاهش استفاده از حلال و مصرف انرژی فسیلی است (Stashenko et al., 2004). روش استخراج به کمک مایکروویو (MAE) یک از این فناوری‌های در حال توسعه می‌باشد. در این روش گیاه با حلال در یک بالن در داخل آون مایکروویو قرار می‌گیرند. امواج مایکروویو به داخل سلول‌های گیاهی نفوذ کرده و با تاثیر بر مولکول‌های قطبی منجر به ایجاد حرارت در داخل بافت گیاهی در

تقاضای بالای صنایع داروسازی، غذایی، آرایشی و بهداشتی به مواد مؤثره گیاهان دارویی منجر به توجه فراوان به کشت و اهلی کردن، اصلاح گونه‌های مهم، بررسی شیوه‌های نوین در افزایش عملکرد مواد مؤثره و فرآوری این نوع گیاهان شده است. این عوامل منجر به آن شده است بیشتر کشورهای برنامه‌های جامعی برای شکوفایی کشت گیاهان دارویی داشته باشند.

برای ایجاد سودآوری در زمینه گیاهان دارویی، علاوه بر کشت و توسعه مزارع به صورت مکانیزه، نیاز به فرآوری و ایجاد ارزش افزوده بالا برای گیاهان دارویی لازم و ضروری است. اسانس گیاهان دارویی در صنایع زیادی به‌عنوان یک ماده ارزشمند اولیه استفاده می‌شود. روش‌های قدیمی استخراج اسانس مانند کلونجر دارای بازده پایین،

۱ و ۲- به ترتیب دانش‌آموخته کارشناسی ارشد و استادیار، گروه مهندسی بیوسیستم، دانشکده کشاورزی، دانشگاه کردستان، سنندج، ایران.
۳- استادیار، گروه علوم و مهندسی باغبانی، دانشکده کشاورزی، دانشگاه کردستان، سنندج، ایران.

* - نویسنده مسئول: (Email: n.behroozi@uok.ac.ir)

مهارکنندگی رادیکال آزاد، میزان فنل و فلاونوئید کل و بتالائین عصاره‌های استخراج شده مورد بررسی قرار گرفتند. نتایج حاصل نشان دهنده آن بود که تیمار با نسبت ۱ به ۲۰ نمونه به حلال، زمان استخراج ۳۰ دقیقه و توان مایکروویو ۲۷۰ وات بهترین تیمار آزمایشی برای فرآیند استخراج می‌باشد (Kooshesh and Golmakani, 2015).

Heleno و همکاران (۲۰۱۶) برای استخراج ارگوسترول از فرآورده‌های قارچ از روش MAE استفاده کردند و نتایج‌شان نشان داد که شرایط استخراج بهینه $2/9 \pm 19/4$ دقیقه، $12/4 \pm 132/8$ درجه سلسیوس و $1/5 \pm 1/6$ گرم / لیتر بود که در آن بازده $26/2 \pm 556/1$ میلی‌گرم ارگوسترول در هر ۱۰۰ گرم قارچ حصول گردید. نتایج Arasi و همکاران (۲۰۱۶) برای بهینه‌سازی استخراج به کمک مایکروویو پلی- ساکارید از میوه گواوا (*Psidium guajava* L) به روش سطح پاسخ نشان داد که بازده بهینه استخراج $6/81\%$ در سطح قدرت مایکروویو ۲۰۰ وات، نسبت آب به مواد گیاه ۱ به ۳ و ۲۰ دقیقه از زمان تابش حصول گردید. Belwal و همکاران (۲۰۲۰) برای بهینه‌سازی بازده استخراج و اثر متغیرهای توان مایکروویو، زمان فرآیند، نسبت ماده به حلال و pH حلال بر بازده استخراج از روش سطح پاسخ استفاده کردند. نتایج آنها بیان‌کننده قابلیت روش فوق برای کاهش تعداد آزمایش‌ها به کمک روش سطح پاسخ و مدل‌سازی با دقت مناسب برای بهینه‌سازی فرآیند بود.

در این پژوهش هدف ارزیابی کمیت و کیفیت اسانس‌گیری گیاه رزماری در سامانه توسعه داده استخراج اسانس به کمک مایکروویو و بهینه‌سازی فرآیند می‌باشد.

مواد و روش‌ها

گیاه رزماری (*Rosmarinus officinalis* L.) مورد استفاده در این تحقیق از اندام‌های هوایی گیاه رزماری کاشته شده در مزرعه دانشگاه کردستان جمع‌آوری و به‌صورت تازه و تر برای آزمایش‌ها استفاده شد. برای انجام هر آزمایش ۲۰۰ گرم از گیاه رزماری مورد آزمایش قرار گرفت. محتوای رطوبتی اولیه محصول بر اساس استاندارد AOAC (1980)، 53% بر پایه‌تر بود.

سامانه اسانس‌گیری

در این پژوهش یک سامانه اسانس‌گیری به کمک مایکروویو توسعه داده شد. این سامانه شامل قسمت‌های زیر بود: یک دستگاه مایکروویو خانگی، بالن، کندانسور تقطیر، منبع آب سرد و پمپ. برای ساخت و توسعه سامانه از یک دستگاه مایکروویو خانگی (Sumsong-ME3410W, Korea) با ابعاد محفظه $34 \times 24 \times 34$ سانتی‌متر و توان نامی ۹۰۰ وات و فرکانس ۲۴۵۰ هرتز برای تولید امواج مایکروویو با

نتیجه تخریب سلول‌ها و آزاد شدن مواد موثره می‌گردند (Kaufmann et al., 2001). در این سیستم خنک‌کننده و بخش بازیابی اسانس در خارج از آون قرار دارد. بخارات حلال و اسانس وارد سیستم خنک‌کننده سامانه شده و توسط خنک‌کننده بخارات چگالیده می‌شوند (Stashenko et al., 2004).

هرچند از نظر بازده استخراج اسانس روش MAE برابر با کلونجر می‌باشد ولی از میزان انرژی مصرفی، زمان و میزان حلال مصرفی دارای مزیت ذاتی نسبت به روش مرجع کلونجر می‌باشد. Lucchesi و همکاران (۲۰۰۴) بیان داشتند که برای گیاه اسطوخودوس، میزان انرژی مصرفی در روش استخراج به کمک مایکروویو (۲۵/۰ کیلووات-ساعت) بسیار پایین‌تر از مقدار انرژی مصرفی در روش تقطیر با کلونجر (۴/۵ کیلووات-ساعت) می‌باشد. همچنین زمان برای استخراج حداکثر میزان اسانس (۳۰ تا ۴۰ دقیقه) بسیار پایین‌تر از زمان لازم (۳۰۰ دقیقه) به روش کلونجر می‌باشد (Farhata et al., 2010; Mandal et al., 2007). تنها نقطه ضعف روش MAE تجزیه برخی از ترکیبات حساس به گرما می‌باشد (Liiazid et al., 2007). Mandal و همکاران (۲۰۰۷)، Moret و همکاران (۲۰۱۹) و Patil و Bagade (۲۰۱۹) یک بررسی کامل از پارامترهای تاثیرگذار در روش MAE انجام دادند. بررسی آنها بیان‌گر آن بود که میزان توان مایکروویو، نوع حلال، نسبت ماده به حلال، زمان فرآیند، اندازه ذرات ماده، اختلاط، نحوه کنترل توان مایکروویو و دمای فرآوری از عوامل تاثیرگذار در این روش می‌باشند. روش MAE برای استخراج اسانس بسیاری از گیاهان معطر و ادویه‌جات استفاده شده است. در پژوهشی برای استخراج اسانس آویشن باغی از قدرت مایکروویو ۹۹۰ وات در طول ۱۲۰ دقیقه در فشار یک اتمسفر، $2/52\%$ اسانس (Golmakani and Rezaei, 2008) و برای مرزه مونتانا، $7/0\%$ اسانس با توان مایکروویو ۶۶۰ وات در طول ۹۰ دقیقه در فشار اتمسفر به‌دست آمد (Rezvanpanah et al., 2008). در پژوهش دیگری Dorneles و همکاران (۲۰۲۰) از روش MAE با توان‌های ۷۰۰، ۸۰۰ و ۱۰۰۰ وات با زمان‌های ۱۰، ۱۵ و ۲۰ دقیقه برای استخراج ترکیبات فنلی کاج برزیلی (*Araucaria angustifolia*) استفاده کردند. نتایج آنها نشان داد بهترین تیمار برای استخراج ترکیبات مورد نظر توان ۱۰۰۰ وات و زمان ۲۰ دقیقه می‌باشد.

استخراج عصاره جلبک قهوه‌ای سارگاسوم با استفاده از MAE نشان داد که فرآیند استخراج با حلال آبی، زمان ۳۰ دقیقه و نسبت جلبک به حلال ۱ به ۲۰ تیمار بهینه برای استخراج عصاره از این جلبک می‌باشد (Babakhani Lashkan et al., 2012). Kooshesh و Golmakani (۲۰۱۵) بهینه‌سازی استخراج ترکیبات زیست فعال از چغندر قرمز به کمک مایکروویو را انجام دادند. اثر سه متغیر توان، زمان و نسبت حلال متانول به نمونه بر بازدهی کلی استخراج، فعالیت

$$(۱) \quad 100 * \frac{\text{حجم اسانس استخراجی (میلی لیتر)}}{\text{جرم تر ماده (گرم)}} = \text{بازده اسانس (\%)} \quad (۱)$$

در نهایت اسانس حاصل در یک ظرف تیره ریخته شده و درپوش آن بسته شد و در دمای ۲ تا ۴ درجه سلسیوس تا زمان آنالیز توسط دستگاه های کروماتوگراف گازی متصل به طیف سنسج جرمی (Agilent 7990B, USA) در یخچال نگهداری شد (Omidbaigi, 2009). برای کنترل توان میکروویو، مدار کنترلی دستگاه میکروویو به طور کامل از مدار خارج کرده و از یک رله SSR (40 A- SSR relay, Tiwan)، برد آردینو (Arduino Mega-2560) و برنامه نوشته شده در محیط آردینو برای کنترل توان ورودی به میکروویو استفاده شد. این برنامه با کنترل زمان روشن و خاموش بودن میکروویو در یک سیکل کاری ۶۰ ثانیه، توان ورودی به میکروویو را کنترل می کرد. تیمار شاهد در این پژوهش، استخراج اسانس از گیاه رزماری توسط دستگاه کلونجر با نسبت ۵:۲ (آب به گیاه) بود.

اعمال تغییراتی در آن، استفاده شد (شکل ۱). محفظه میکروویو از قسمت بالا سوراخ کاری شد و منفذی به قطر ۲ سانتی متر به اندازه دهانه لوله بالون ایجاد گردید. مواد خرد شده گیاهی در داخل یک بالن پیرکس به حجم ۱ لیتر قرار داده شد و دهانه خارجه شده بالن از میکروویو به کندانسور سامانه وصل شد.

برای کندانس کردن بخارات آب و اسانس از آب و یخ با دمای صفر درجه سلسیوس استفاد شد که توسط یک پمپ (الکتروپمپ موتوژن تیپ SH205، ایران) از قسمت پایین وارد کندانسور شده و از بخش بالایی خارج می شود و به منبع آب سرد بر می گشت. برای اسانس گیری ۲۰۰ گرم از اندام هوایی گیاه خرد شد و با نسبت ۵:۲ آب مقطر به گیاه در داخل بالن اضافه می شد. سپس بالن حاوی ترکیب گیاه و آب در داخل میکروویو قرار داده می شد. بعد از پایان فرآیند اسانس گیری، اسانس جمع شده بر روی آب قرائت و توسط یک سرنگ پزشکی جمع آوری می شد. سپس اسانس استخراجی توسط سولفات سدیم خشک آبیگری شد. بازده اسانس استخراجی از رابطه ۱ محاسبه می شد:



شکل ۱- سامانه اسانس گیری: ۱- کندانسور، ۲- پایه و گیره، ۳- پمپ آب، ۴- بالن، ۵- آب و یخ، ۶- میکروویو

Fig. 1. Essential oil system: 1. Condenser, 2. Base and clamp, 3. Water pump, 4. Balloon, 5. Ice and water bath, 6. Microwave.

شامل بازده اسانس در هر آزمایش بود. طراحی آزمایش ها توسط نرم افزار آماری Design Expert 10.0.3 انجام شد. در روش سطح پاسخ برای هر متغیر دامنه ای انتخاب می شود. به این ترتیب سطح سوم به عنوان سطح صفر یا مرکزی (۰)، مقداری بین کمینه و بیشینه است (جدول ۱). این پژوهش دارای دو متغیر مستقل در سه سطح و یک نقطه مرکزی که دارای پنج تکرار است، می باشد. در جدول ۲ متغیرها و سطوح کدبندی شده آن ها و میزان بازدهی اسانس استخراجی ذکر شده است. بعد از انجام آزمایش بر اساس تیمارهای پیشنهادی بازده اسانس استخراجی اندازه گیری در جدول ۲ یادداشت شد.

روند انجام آزمایش ها

در این تحقیق از روش سطح پاسخ، در قالب طرح مرکب مرکزی با ۱۳ تیمار استفاده گردید. در این پژوهش تاثیر ۲ متغیر مستقل شامل توان در محدود ۳۰۰ تا ۹۰۰ وات و زمان در محدوده ۵ تا ۳۵ دقیقه بر بازده اسانس به عنوان متغیرهای وابسته بررسی گردید. بر اساس تحقیقات پیشین ۳۰ دقیقه برای توان های بالای ۱۰۰ وات، زمان کافی می باشد (Farhata et al., 2010; Mandal et al., 2007; Moradi et al., 2018). بر اساس پیش آزمایش ها، زمان ۳۵ دقیقه برای سطح توان ۳۰۰ وات برای استخراج حداکثر اسانس کافی بود، لذا زمان های بیشتر از ۳۵ دقیقه در نظر گرفته نشد. داده های ثبت شده در هر آزمایش

جدول ۱- سطوح متغیرهای مستقل و کدبندی با استفاده از روش سطح پاسخ

Table 1- Levels of independent variables and coded using RSM

variable coded level			symbol نماد	variable متغیر
+1	0	-1		
900	600	300	A	Power (w) توان (w)
35	20	5	B	Time (min) زمان (min)

جدول ۲- اندازه‌گیری بازده اسانس

Table 2- Extraction Efficiency

Extraction efficiency (%) بازده اسانس (%)	Time (min) زمان	Power (W) توان	Treatment Number. شماره آزمایش
0	5	300	1
0.3	35	300	2
0.25	20	600	3
0.27	20	600	4
0.25	20	600	5
0.37	35	900	6
0.05	5	900	7
0.35	35	600	8
0.35	20	900	9
0.07	5	600	10
0.22	20	600	11
0.15	20	300	12
0.25	20	600	13

ارزیابی کیفی اسانس

برای ارزیابی کیفی اسانس استخراجی و مقایسه آن با نمونه اسانس استخراجی توسط کلونجر نمونه‌های اسانس به بخش طیف‌سنجی آزمایشگاه مرکزی دانشکده علوم پایه دانشگاه کردستان جهت آنالیز GC-Mass ارسال شد.

در روش سطح پاسخ، عموماً معادله مدل درجه دوم کامل یا فرم کاهیده آن است. در رابطه ۳، β_0 ، β_i ، β_{ij} و β_{ij} به ترتیب ضرایب ثابت، خطی، درجه دوم و اثر متقابل رگرسیون هستند. X_i و X_j متغیرهای مستقل کد شده هستند. ϵ باقیمانده یا خطای مدل است. K شمارنده متغیرها است. i و j زانده‌های متغیرهای مستقل می‌باشند و i کوچک‌تر از j است.

مدل‌سازی بازده اسانس به کمک RSM

پس از انتخاب طرح، معادله مدل تعیین شده و ضرایب آن پیش‌بینی می‌شوند. در این پژوهش از مدل خطی (رابطه ۲)، مدل خطی با برهم کنش خطی (رابطه ۳) و درجه دو (رابطه ۴) برای مدل‌سازی استفاده شد.

$$y = \beta_0 + \sum_{i=1}^k \beta_i x_i \quad (2)$$

$$y = \beta_0 + \sum_{i=1}^k \beta_i x_i + \sum \sum \beta_{ij} x_i x_j \quad (3)$$

$$y = \beta_0 + \sum_{i=1}^k \beta_i x_i + \sum_{i=1}^k \beta_{ii} x_i^2 + \sum \sum \beta_{ij} x_i x_j + \epsilon \quad (4)$$

از ضریب تبیین پیش‌بینی (R^2_{Pre}) برای تعیین قدرت پیش‌بینی مدل استفاده می‌شود. از نظر آماری مدلی مناسب است که دارای بالاترین مقدار R^2 و R^2_{adj} تصحیح شده و R^2_{Pre} باشد و هرچه مقادیر این ضرایب به عدد ۱ نزدیک‌تر باشد قدرت مدل برآزش یافته در توصیف تغییرات پاسخ به‌عنوان تابعی از متغیرهای مستقل بیشتر می‌باشد (Samavati, 2013). شرایط عملیاتی بهینه‌سازی کار اسانس‌گیری میکروویو با استفاده از گزینه بهینه‌سازی عددی بررسی شد. بدین ترتیب که ابتدا اهداف بهینه‌سازی مشخص شده و در ادامه، محدوده‌های هر متغیر را براساس درجه‌ی اهمیت تعیین و نیز درجه وزنی برای هر متغیر اعمال گردید و در پایان بهترین جواب‌ها در بخش حل مورد استفاده قرار خواهد گرفت.

نتایج و بحث

مدل سازی بازده اسانس استخراجی

سه مدل خطی، خطی با برهم کنش خطی و مدل درجه دو بر داده ها برازش داده شدند و نتایج برازش این مدل ها نشان داد که از بین این مدل ها، نرم افزار مدل درجه دو را پیشنهاد داده است (جدول ۳). این مدل پیشنهادی قادر است با مقادیر R^2 ، R^2_{adj} و R^2_{Pre} که به ترتیب عبارتند از ۰/۹۵۲۱، ۰/۹۱۸۰ و ۰/۵۵۷۴ مدل سازی را انجام دهد. این نتایج بر اساس شرکت تمام ترم های مدل در معادله نهایی حاصل شده است که دارای مقادیر R^2 ، R^2_{adj} و R^2_{Pre} گزارش شده در جدول ۳ می باشد. این نتایج نشان می دهد که مدل پیشنهادی دارای قدرت پیش بینی پایین است و نیاز به اصلاح برای افزایش قدرت پیش بینی دارد.

نتایج تجزیه واریانس در جدول ۴ نشان داده شده است. با توجه به نتایج جدول ۴ فقط ترم های زمان، توان و توان دوم زمان معنی دار هستند و ترم های اثر متقابل و توان دوم توان مایکروویو معنی دار نیستند. معادله ی پیشنهادی بر اساس شرکت تمام ترم ها به صورت رابطه ۴ حاصل شد. به دلیل فاصله زیاد بین R^2_{Pre} و R^2_{adj} معادله نیاز به اصلاح دارد. برای اصلاح معادله علاوه بر بررسی کفایت آماری مدل پیشنهادی و در صورت لزوم انتقال داده های بر اساس گزارشات کفایت آماری از روش گام به گام برای حذف پارامترهای غیر معنی دار مدل هم استفاده شد تا ترم های غیر معنی دار از معادله حذف شوند و نتایج برازش معادله بهبود یابند.

جدول ۳- نتایج مدل های برازش داده شده

Table 3- Results of fitted models

Model مدل	R^2_{Pre}	R^2_{adj}	R^2	Std. dev
Linear خطی	0.7257	0.8463	0.8719	0.048
2FI	0.3815	0.8293	0.8719	0.050
Proposed پیشنهاد شده درجه دوم Quadratic	0.5574	0.9180	0.9521	0.034

جدول ۴- نتایج تجزیه واریانس اثر توان و زمان بر مقدار اسانس

Table 4- Results of ANOVA

P-value	F-value	Mean squares میانگین مربعات	Sum of squares مجموع مربعات	Degree of freedom درجه آزادی	Model
<0.0001	69.33**	0.25	0.74	3	مدل
0.014	*18.29	0.06	0.06	1	Power -A
<0.0001	165.27**	0.54	0.54	1	Time -B
0.98	0	0.000	0.000	1	A*B
0.45	0.64 n.s	3.62e-3	3.62e-3	1	A ²
0.043	24.42*	0.088	0.088	1	B ²
		9.021e-4	3.906e-3	4	Error خطا
			0.79	12	Total کل

** معنی داری در سطح احتمال ۱ درصد، * معنی داری در سطح احتمال ۵ درصد، n.s غیر معنی دار

در معادله ۴، R بازده اسانس (بر حسب درصد)، A توان مایکروویو (بر حسب وات) و B زمان (بر حسب دقیقه) می باشند.

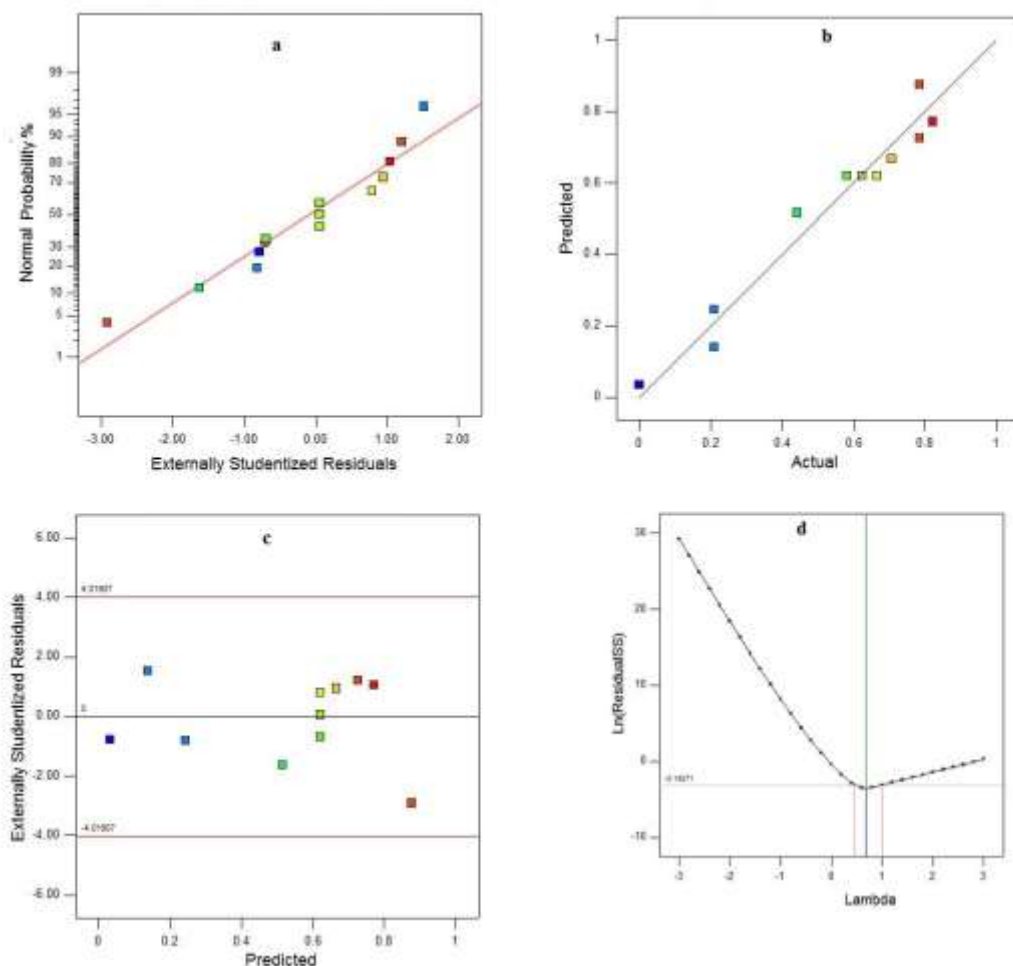
نمودار احتمال نرمال (شکل ۲- الف) پراکندگی داده ها در فضای مدل را نشان می دهد. با توجه به این شکل، می توان به خوبی پراکندگی خطی خطاهای مدل سازی را مشاهده کرد. این پراکندگی خطی به معنی توزیع نرمال خطاها در فضای ماتریس طراحی آزمایش ها است. در شکل ۲- ب) مقادیر حقیقی اندازه گیری شده بازده اسانس از آزمایشات در

$$(R) = 0.51 + 0.1A + 0.31B + 0.000A * B - 0.036A^2 - 0.11B^2 \quad (4)$$

$$(R) = -0.4433 + (8.16 * 10^{-4}Power) + (0.0403Time) - (2.4710^{-2}Power * Time) - (4.02310^{-7}Power^2) - (4.94 * 10^{-4}Time^2) \quad (5)$$

نشان داده و فرض واریانس ثابت را آزمون می‌کند. این نمودار دارای پراکندگی تصادفی، که نشان‌دهنده طیف ثابت مانده، در سراسر نمودار می‌باشد و الگویی به شکل ">" در آن دیده نشد تا نیاز به استفاده از یک تابع انتقال توانی را نشان دهد.

مقابل مقادیر پیش‌بینی شده توسط مدل ۴ نشان داده شده است. نتایج بیان‌کننده آن است که این مدل می‌تواند بازده اسانس را در محدوده مشخص شده برای متغیرهای مستقل با ضریب همبستگی ۰/۷۴۶ تخمین بزند. قسمت پ شکل ۲ نمودار مقدار مانده‌ها در برابر مقادیر پیش‌بینی شده را نشان می‌دهد که دارای پراکندگی تصادفی در سراسر نمودار است. این نمودار مقدار مانده‌ها را در مقابل مقادیر پیش‌بینی پاسخ



شکل ۲- الف- نمودار توزیع نرمال خطاها، ب- مقادیر حقیقی بازده اسانس در مقابل مقادیر پیش‌بینی شده توسط مدل، پ- مقادیر پیش‌بینی شده در برابر مقادیر مانده‌های استیودنتیده داخلی، ت- نمودار باکس-کاکس برای تعیین درجه تابع مدل

Fig. 3. a) Normal probability plot of residuals, b) actual versus predicted extraction efficiency, c) Studentized residuals versus predicted values, d) Box-Cox plot for power transformations.

است. بر اساس نتایج مدل بهترین مقدار پیشنهادی برای لاندا برابر ۰/۶۸ است. به عبارتی باید داده‌های مربوط به مقدار اسانس به‌وسیله تابع توانی به توان ۰/۶۸ انتقال داده شوند و مدل جدید بر داده‌ها برازش داده شود که در آن صورت مدل حاصله، حداقل مقدار خطا را خواهد داشت. لذا بر اساس نمودار باکس-کاکس و انتقال داده‌های پاسخ به فضای توانی، و همچنین استفاده از روش گام به گام برای حذف

در شکل (۲-ت) نمودار باکس-کاکس مدل پیشنهادی نشان داده شده است. این نمودار مناسب‌ترین ابزار برای تشخیص مناسب‌ترین تابع انتقال به منظور اعمال بر متغیر وابسته (مقدار اسانس) می‌باشد. در این نمودار پایین‌ترین، بهترین مقدار لاندا را که در آن حداقل مجموع مربعات مانده در مدل تبدیل شده ایجاد می‌شود را نشان می‌دهد. همچنین در این نمودار محدوده اطمینان ۹۵ درصد نشان داده شده

ترم های غیرمعنی دار از مدل، مدل پیشنهادی به صورت ذیل به دست آمد:

$$R^{0.68} = 0.39 + 0.066A + 0.2B - 0.1B^2 \quad (۶)$$

$$R^{0.68} = -0.305 + (3.5 * 10^{-4}Power) + (0.0504Time) - (7.35 * 10^{-4}Time^2) \quad (۷)$$

نتایج مدل ارائه شده جدید در جدول ۵ گزارش شده است که نشان می دهد نسبت به مدل قبلی بخصوص R^2_{Pre} از ۰/۵۵۷۴ به ۰/۸۸۶۴ رسید که نشان از بهبود عملکرد مدل جدید می باشد.

جدول ۵- اطلاعات مربوط به مدل تجربی بازده اسانس استخراجی

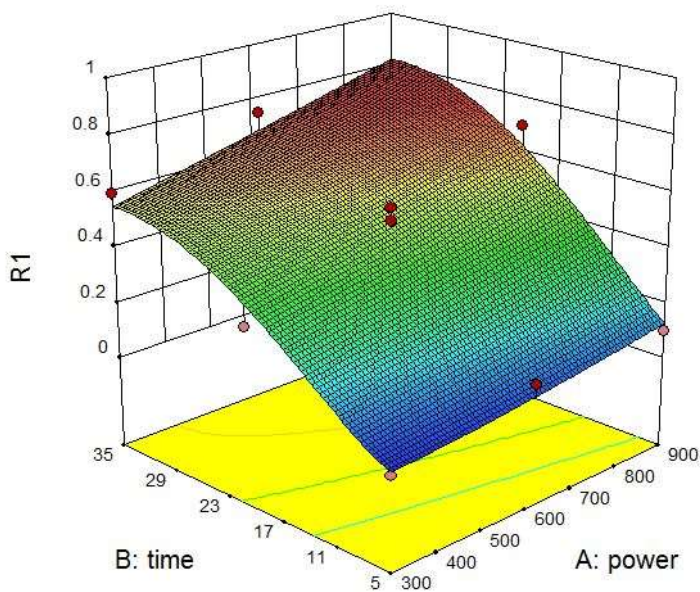
Table 5- Experimental model results for extraction efficiency

Value	Parameter
مقدار	پارامتر
0.037	Std. Dev.
10.98	% CV
0.9590	R^2
0.9454	R^2_{adj}
0.8864	R^2_{pred}
0.018	خطای ریشه میانگین مربعات Root mean square Error (RMSE)

است، با افزایش توان بازده اسانس استخراجی افزایش دارد. افزایش زمان نیز باعث افزایش چشم گیری در بازده اسانس استخراجی می شود. مطابق نتایج به دست آمده از جدول ۴ اثر متقابل توان و زمان بر بازده اسانس استخراجی معنی دار نبوده است. بی معنی بودن اثر متقابل دو عامل بر یکدیگر از نظر آماری نشان می دهد که هر عامل طوری بر روی خروجی اثر می گذارد که گویی عامل دیگر در آزمایش وجود ندارد.

نمودار سطح پاسخ بازده اسانس استخراجی

نمودار سطح پاسخ، یک تصویر گرافیکی سه بعدی می باشد که می تواند اثرات اختصاصی و تجمعی متغیرها و همچنین اثرات متقابل متغیرهای مستقل بر متغیر وابسته را به تصویر بکشد. سطح پاسخ، خصوصیات هندسی سطح را نمایش می دهد و اهمیت ضرایب معادله به تصویر کشیده شده را مورد ارزیابی قرار می دهد (Ravikumar et al., 2007). شکل ۳ نمودار سطح پاسخ توان و زمان بر بازده اسانس استخراجی را نشان می دهد. همان طور که در این شکل قابل مشاهده



شکل ۳- نمودار سطح پاسخ درصد اسانس استخراجی

Fig. 3. Response surface of extracted essential oil efficiency

است و می‌توان برای پاسخی که مهم‌تر است درجه اهمیت بالاتری لحاظ کرد. پس از تعیین اهداف برای هر متغیر مستقل و پاسخ، نرم‌افزار، ترکیب‌های پیشنهادی از سطوح متغیرها را همراه با تابع رضایت‌مندی هر ترکیب ارائه می‌کند.

در پژوهش حاضر با آن‌که هدف، افزایش میزان استخراج اسانس می‌باشد شروط بهینه‌سازی در جدول ۶ بیان شده است. پس از تعیین کردن هدف مطلوب، تیمارهایی که بتواند نتایج را به سمت اهداف نزدیک کند توسط روش سطح پاسخ و با استفاده از نرم‌افزار Design Expert پیشنهاد شد. در جدول ۷ نتایج بهینه‌سازی و مقادیر مطلوبیت برای هر ترکیب از مقادیر متغیرها مشخص شده است. با توجه به نتایج به‌دست آمده از فرآیند بهینه‌سازی، برای رسیدن به هدف‌های مورد نظر می‌توان انتخاب‌های متنوعی داشت. نرم‌افزار تیمار با توان ۸۶۶ وات و زمان ۳۴ دقیقه برای شرایط کاری سامانه اسانس‌گیری پیشنهاد می‌دهد. بازده اسانس استخراجی به ازای مقادیر بهینه متغیرهای کاری پیشنهادی برابر با ۰/۳۸٪ می‌باشد.

بهینه‌سازی فرآیند استخراج اسانس به کمک روش سطح

پاسخ

بهینه‌سازی یکی از مهم‌ترین مراحل در طراحی و تحلیل آزمایش‌ها است. از آن‌جا که هدف تحقیق حاضر بهینه‌سازی استخراج اسانس می‌باشد، در این قسمت نتایج مربوط به مناسب‌ترین شرایط برای استخراج اسانس توضیح داده می‌شود تا بتواند نیازهای مورد نظر را تأمین کند. Montgomery و Myers (۱۹۹۵) تابع رضایت‌مندی یا مطلوبیت برای یافتن مناسب‌ترین تیمار آزمایشی پیشنهاد داده‌اند. تابع مذکور، محدوده رضایت برای هر پاسخ را مشخص می‌کند. مقدار رضایت‌مندی بین صفر و یک تغییر می‌کند. در بهینه‌سازی براساس تابع رضایت‌مندی، برای هر متغیر مستقل و هر پاسخ می‌توان هدفی تعیین کرد. اهدافی که در فهرست نرم‌افزار Design Expert وجود دارد شامل موارد: بیشینه، کمینه، عدد مورد نظر، محدوده مشخص و گزینه هیچ‌کدام می‌باشد. نرم‌افزار Design Expert گزینه دیگری هم تحت عنوان درجه اهمیت یا اهمیت وزنی دارد که مقادیر آن از ۱ تا ۵ متغیر

جدول ۶- شروط بهینه‌سازی

Table 6- Optimization conditions

Optimization condition	Value	Parameter
شروط بهینه‌سازی	مقدار	پارامتر
Within the specified range	300- 900	Power
در محدوده تعیین شده		توان (w)
Within the specified range	5- 35	Time
در محدوده تعیین شده		زمان (min)
Maximizing	0.37	Extraction Efficiency

جدول ۷- نتایج بهینه سازی استخراج اسانس رزماری با روش سطح پاسخ به همراه درصد مطلوبیت هر ترکیب
Table 7- Results of optimization of rosemary essential oil extraction by RSM with desirability of each treatments

	Desirability	Response	Time	Power	Number
	مطلوبیت	پاسخ	زمان	توان	شماره
Elected انتخاب شده	1	0.381	34.438	886.25	1
	1	0.380	34.250	862.50	2
	1	0.382	34.531	837.75	3
	1	0.375	33.969	818.438	4
	1	0.385	35.00	900.00	5
	1	0.377	34.695	810.938	6
	1	0.375	32.422	880.313	7
	1	0.371	33.875	772.50	8
	1	0.378	33.125	885.00	9
	1	0.371	31.367	898.106	10
	1	0.370	34.577	747.489	11

ارزیابی کیفیت اسانس استخراجی

اسانس‌های به دست آمده از تنوع شیمیایی بالایی در میزان، نوع و تعداد ترکیبات تشکیل دهنده اسانس گیاه رزماری در توان ۳۰۰، ۶۰۰ و ۹۰۰ وات با زمان ۳۵ دقیقه و همچنین در دستگاه کلونجر برخوردار بود. مقدار عمده ترین ترکیبات اسانس رزماری در تیمارهای مختلف در جدول ۷ گزارش شده است. آلفا پینن، کامفن، بورنتول، کامفور، سینئول و کاریوفیلن ترکیبات غالب اسانس بودند. در تیمارهای ۳۰۰ و ۶۰۰ وات با زمان ۳۵ دقیقه مقادیر ترکیبات غالب اسانس مقداری بیشتر از کلونجر است. ولی در توان ۹۰۰ وات به دلیل بالا رفتن دما برخی از ترکیبات تخریب شده اند و درصد استخراج برخی ترکیبات شدت کاهش داشته اند و در مقابل درصد استخراج کاریوفیلن، وربنون و کاریوفیلن اکسید به ترتیب به مقادیر ۲۳/۵۹۵، ۱۰/۹۴ و ۸/۴۱۸ رسیده است که نشان دهنده افزایش شدید مقادیر این ترکیبات در ۹۰۰ وات را دارد. کاریوفیلن سنگین تر از مونوترپن هاست و بخاطر نقطه جوش بالا، در دماها و توان‌های بالا بهتر از بافت گیاه استخراج می شود. بدین خاطر در توان ۹۰۰ وات درصد استخراج آن بیشتر از بقیه تیمارها است. همچنین بورنتول با ۱۳/۴۸۴ درصد نسبت به تیمار کلونجر، ۶۰۰ و ۳۰۰ وات دارای درصد بالاتری می باشد. هر چقدر توان مایکروویو بالا باشد، شدت انتقال انرژی افزایش می یابد و دما هم افزایش می یابد که منجر به تجزیه ترکیبات اسانس می شود. این نتایج با گزارش Mandal و همکاران (۲۰۰۷) و Bousbia و همکاران (۲۰۰۹) که کاربرد توان بالای مایکروویو منجر به تجزیه برخی از ترکیبات می شود، همخوانی

دارد. همچنین کاهش شدید آلفا پینن از ۲۰/۲۰۸ درصد در توان ۳۰۰ وات به ۶/۰۳۳ درصد در توان ۹۰۰ با نتایج Moradi و همکاران (۲۰۱۸) که افزایش توان مایکروویو منجر به کاهش محسوس این ترکیب می شود، همخوانی دارد. از طرف دیگر ترکیبات کاریوفیلن اکسید فقط در تیمار ۹۰۰ مشاهده شده است. همچنین ترکیب دی-لیمونن فقط در تیمار ۳۰۰ و ۶۰۰ وات استخراج شد. از بین ترکیبات غالب اسانس آلفا پینن، کامفور و سینئول دارای بیشترین ارزش دارویی می باشند که با توجه به جدول ۸ بیشترین مقادیر برای این ترکیبات در تیمار ۳۰۰ وات استخراج شده است. در توان‌های بالاتر به خاطر تجزیه ترکیبات، مقدار استخراج این ترکیبات کاهش محسوسی داشته اند. همچنین در توان ۳۰۰ وات بازده استخراج این ترکیبات نسبت به کلونجر بیشتر است که نشان از ارزشمندی روش MAE در استخراج اسانس از گیاهان دارویی می باشد. عمده ترین ترکیبات موجود در روغن فرار رزماری بر اساس پژوهش‌های انجام گرفته در ایران (Ghannadi et al., 2002)، الجزایر (Djeddi et al., 2007)، هندوستان (Rahman et al., 2007) و فرانسه (Miladi et al., 2013) را سینئول، بورنتول، کامفن، آلفا پینن، کاریوفیلن و کامفور تشکیل می دهند که بسته به شرایط جغرافیائی محل کشت گیاه، میزان هریک از این ترکیبات متغیر می باشد (جدول ۸). در این پژوهش‌ها از کلونجر برای استخراج اسانس استفاده شده است. ترکیبات غالب اسانس استخراجی در پژوهش حاضر نیز با ترکیبات غالب پژوهش‌های فوق الذکر دارای همخوانی می باشد.

جدول ۸- مقایسه ترکیبات غالب اسانس گیاه رزماری با مطالعات دیگر

Table 8- Comparison of dominant compounds of rosemary essential oil with other studies

ترکیب	300 W	600 W	900 W	Clevenger	Iran	Algeria	India	France
-------	-------	-------	-------	-----------	------	---------	-------	--------

Compound	کلونجر	ایران	الجزایر	هندوستان	فرانسه			
Alpha-Pinene ألفا پنین	20.208	19.733	6.033	19.835	19.1	10.44	9.94	19.94
Camphene کامفن	5.439	5.756	1.846	5.726	8.90	7.20	6.90	5.339
Berbenol بورنتول	11.668	12.790	13.484	11.298	5.80	8.37	12.76	18.93
Camphor کامفور	12.198	11.619	3.037	10.883	15.90	9.31	26.44	19.87
Cineole سینئول	11.129	9.106	2.839	12.413	16.70	7.38	28.38	11.56
Caryophyllene کاریوفیلین	1.325	1.406	23.595	0.639	9.67	10.90	0.534	2.28
.alpha.-Caryophyllene آلفا کاریوفیلین	-	-	3.853	-	-	-	-	-
Caryophyllene oxide کاریوفیلین اکسید	-	-	8.418	-	-	-	-	-
دی-لیمونن	2.959	2.975	-	-	-	-	-	3.74
beta-pinene بتا پنین	3.998	4.341	-	4.00	6.20	-	-	-
Verbenone وربنون	4.824	2.285	10.940	3.322	-	-	-	-

نتیجه گیری

بیشترین مقدار اسانس و با ترکیبات اسانس استخراجی نزدیک به کلونجر در توان ۶۰۰ وات بود که در آن اکثر ترکیبات مهم رزماری استخراج شد. اگر از توان ۶۰۰ وات و زمان ۳۵ دقیقه استفاده شود با این شرایط کاری مقدار اسانس استخراجی به ۰/۳۵٪ می‌رسد که نسبت به شرایط پیشنهادی نرم‌افزار (۹۰۰ وات با زمان ۳۴ دقیقه) حدود ۰/۳٪ اسانس کمتری استخراج می‌شود. زمان اسانس‌گیری با روش میکروویو نسبت به اسانس‌گیری با کلونجر بسیار کمتر شد، در نتیجه در مصرف انرژی، صرفه‌جویی خواهد شد.

نتایج نشان داد که مقدار و کیفیت اسانس در روش میکروویو با توان ۳۰۰ و ۶۰۰ وات نسبت به روش کلونجر در اکثر ترکیبات تفاوت چندانی نداشت. در بعضی ترکیبات کیفیت و مقدار اسانس استخراجی بیشتر بود. ترکیبات اسانس در توان ۹۰۰ وات تخریب می‌شود، بنابراین بهتر است که در آزمایشات حداکثر توان اعمال نگردد. البته اگر هدف استخراج بیشترین مقدار کاریوفیلین، وربنون و کاریوفیلین اکسید در اسانس استخراجی باشد، می‌توان از توان بالاتر استفاده کرد. تیماری که

منابع

- Arasi, M. A. S. A. G., Rao, M. G. and Bagyalakshmi, J. (2016). Optimization of microwave-assisted extraction of polysaccharide from *Psidium guajava* L. fruits. *International journal of biological macromolecules*, 91(1), 227- 232. <https://doi.org/10.1016/j.ijbiomac.2016.05.039>
- AOAC. (1980). Official methods of analysis. 13th Edition, Association official analytical chemists, Washington DC.
- Babakhani Lashkan, A., Rezaei, M, Rezaei, K., Seifabadi, S. J. (2012). Optimization of extraction of antioxidant compounds in microwave-assisted extracts of brown algae *Sargassum angustifolium*. *Journal of Fisheries, Iranian Journal of Natural Resources*, 65(3), 243- 255. DOI: 10.22059/jfisheries.2012.29488
- Belwal, T., Pandey, A., Bhatt, I. D., Rawal, R. S. Optimized microwave assisted extraction (MAE) of alkaloids and polyphenols from *Berberis* roots using multiple- component analysis. *scientific reports*, 10, 917. <https://doi.org/10.1038/s41598-020-57585-8>.
- Bagade, B. B., Patil, M. (2019). Recent advances in microwave assisted extraction of bioactive compounds from complex herbal samples: A Review, critical reviews in analytical chemistry, DOI: 10.1080/10408347.2019.1686966.
- Bousbia N, Vian M. A, Ferhat M. A, Petitcolas E, Melakati, B. Y, Chemat, F. (2009). Comparison of two isolation methods for essential oil from rosemary leaves: Hydrodistillation and microwave hydrodiffusion and gravity. *Food Chemistry*, 114(1):355- 362. <https://doi.org/10.1016/j.foodchem.2008.09.106>
- Djeddi, S., Bouchenah, N., Settar, I., Skaltsa, H. D. (2007). Composition and antimicrobial activity of the essential oil of *Rosmarinus officinalis* from Algeria. *Chemistry of Natural Compounds*, 43(4), 487-490.

- Derwich, E., Benziane, Z., Chabir, R., Taouil, R. (2011). In vitro antibacterial activity and GC/ MS analysis of the essential oil extract of leaves of *Rosmarinus officinalis* grown in Morocco. *International Journal of Pharmacy and Pharmaceutical Sciences*, 3(3): 89- 95.
- Dorneles, M. S., Norena, C. P. Z. (2020). Extraction of bioactive compounds from *Araucaria angustifolia* bracts by microwave- assisted extraction. *Journal of food processing and preservation*. 44(6), e14481. DOI:org.ezpub.semantak.com/10.1111/jfpp.14481.
- FAO. 2016. <http://www.FAO.org>.
- Farhata, A., Fabiano- Tixierc, A. S., Visinoni, F., Romdhanea, M., Chemat. F. (2010). A surprising method for green extraction of essential oil from dry spices: Microwave dry-diffusion and gravity. *Journal of Chromatography*, 1217, 7345– 7350. <https://doi.org/10.1016/j.chroma.2010.09.062>
- Ghannadi, A., Sajadi, S. E., Ei-muslemi, M. A. M. (2002). Phytochemical investigations on flavonoids and constituents of volatile oil of *rosmarinus officinalis*. *Jundishapur Scientific Medical Journal*, 33:40.
- Kooshesh, S., Golmakani, M. T. (2015). Optimization of microwave-assisted extraction of betalains from red beet (*Beta vulgaris*) and evaluating the antioxidant activity of obtained extract. *Electronic Journal of Food Processing and Preservation*, 7 (2): 39-60
- Myers, R. H. Montgomery, D. C. (1995). Response surface methodology process and product optimization using designed experiments. *John Wiley and Sons*, New York, U. S. A, P. 714.
- Samavati, V. (2013). Polysaccharide extraction from *Abelmoschus*: Optimization by response surface methodology. *Journal of Carbohydrate Polymers*, 95: 588-597. <https://doi.org/10.1016/j.carbpol.2013.02.041>
- Miladi, H., Slama, R., Mili, D., Zouari, S, Bakhrouf, A., Ammar, E. (2013). Essential oil of *Thymus vulgaris* L. and *Rosmarinus officinalis* L.: Gas chromatography- mass spectrometry analysis, cytotoxicity and antioxidant properties and antibacterial activities against foodborne pathogens. *Natural Science*, 5(6):729- 739. DOI:10.4236/ns.2013.56090
- Mandal, V., Mohan, Y., Hemalatha, S. (2007). Microwave assisted extraction– an innovative and promising extraction tool for medicinal plant research. *Pharmacognosy Reviews*, 1(1), 121- 135.
- Moret, S., Conchione, Ch., Srbinovska, A., Lucci, P. (2019). Microwave-based technique for fast and reliable extraction of organic contaminants from food, with a special focus on hydrocarbon contaminants. *Foods*, 8, 503; DOI:10.3390/foods8100503.
- Moradi, S., Fazlali, A., Hamed, H. (2018). Microwave-assisted hydro-distillation of essential oil from rosemary: comparison with traditional distillation. *Avicenna Journal of Medical Biotechnology*, 10(1): 22-28.
- Liaqid, A., Palma, M., Brigui, J., Barroso, C. G. (2007). Investigation on phenolic compounds stability during microwave-assisted extraction, *Journal of Chromatography A*, 1140 (1- 2), pp. 29- 34. <https://doi.org/10.1016/j.chroma.2006.11.040>
- Lucchesi, M. E., Chemat, F. Smalja, J. (2004). Solvent free microwave extraction of essential oil from aromatic herbs: comparison with conventional hydro-distillation. *Journal of Chromatogr. A*. 1043: 323-27.
- Ravikumar, K., Krishnan, S., Ramalingam, S. Balu, K. (2007). Optimization of process variables by the application of response surface methodology for dye removal using a novel adsorbent. *Dyes and Pigments*, 72(1): 66-74. <https://doi.org/10.1016/j.dyepig.2005.07.018>
- Rahman, L., Kukerja, A., Singh, S., Singh, A., Yadav, A. Khanuja, S. (2007). Qualitative analysis of essential oil of *Rosmarinus officinalis* L. cultivated in Uttaranchal Hills, India. *Journal of Spices and Aromatic Crops*, 16 (1):55– 57.
- Omidbaigi, R. (2012). Production and processing of medicinal plants (Vol. 1). Astan Quds Publication, Tehran, 8th edition, pp. 348.
- Viuda-Martos, M., Ruíz-Navajas, Y., Fernández-López, J., and Pérez-Álvarez, J. A. (2007). Chemical composition of the essential oils obtained from some spices widely used in Mediterranean region. *Acta Chimica Slovenica*, 54(4), 921.
- Wang, W., Wu, N., Zu, Y. G., Fu, Y. J. (2008). Antioxidative activity of *Rosmarinus officinalis* L. essential oil compared to main components. *Food Chemistry*, 108(3):1019– 1022. <https://doi.org/10.1016/j.foodchem.2007.11.046>